

А К А Д Е М И Я Н А У К С С С Р
СИБИРСКОЕ ОТДЕЛЕНИЕ
А В Т О М Е Т Р И Я

№ 3

1973

КРАТКИЕ СООБЩЕНИЯ

УДК 681.323 : 621.317.757.32

А. И. ГРЕЧИШНИКОВ, В. Н. ЛУТАЙ, И. Г. ЧАЛАБОВ
(*Таганрог*)

**ИСПОЛЬЗОВАНИЕ ОПЕРАЦИИ НАД ВЕКТОРАМИ
ПРИ ВЫПОЛНЕНИИ БЫСТРОГО ПРЕОБРАЗОВАНИЯ ФУРЬЕ**

Известное выражение для получения коэффициентов Фурье с помощью алгоритма быстрого преобразования Фурье (БПФ) выглядит следующим образом:

$$A_i + 1(j) = A_i(j) + A_i(k) e^{-2\pi j rk/N}; \quad A_i + 1(k) = A_i(j) - A_i(k) e^{-2\pi j rk/N}; \\ i = 0, 1, \dots, (\log_2 N - 1), \quad (1)$$

где $A_i(j)$ и $A_i(k)$ — комплексные величины, выполняемые в i -й итерации и находящиеся соответственно в j -й и k -й ячейках памяти вычислительного устройства; N — количество дискрет реализации исследуемого процесса:

$$e^{-2\pi j rk/N} = \cos \frac{2\pi rk}{N} - j \sin \frac{2\pi rk}{N}.$$

Основной частью операционных устройств процессоров БПФ, реализующих алгоритм (1), является блок перемножения двух комплексных величин $A_i(k)$ и $e^{-\frac{2\pi j rk}{N}}$. Перемножение ведется по следующему алгоритму:

$$\begin{aligned} \operatorname{Re}[A_i(k) e^{-2\pi j rk/N}] &= \operatorname{Re}[A_i(k)] \cos \frac{2\pi rk}{N} - \operatorname{Im}[A_i(k)] \sin \frac{2\pi rk}{N}; \\ \operatorname{Im}[A_i(k) e^{-2\pi j rk/N}] &= \operatorname{Im}[A_i(k)] \cos \frac{2\pi rk}{N} + \operatorname{Re}[A_i(k)] \sin \frac{2\pi rk}{N}. \end{aligned} \quad (2)$$

При одновременном получении действительных и мнимых частей произведения в операционном устройстве необходимо иметь четыре сумматора и шесть регистров [1]. Выражение (2) представляет собой запись результатов умножения двух комплексных чисел, представленных в алгебраической форме. Геометрически операция умножения $e^{-2\pi j rk/N}$ означает поворот вектора $A_i(k)$ под действием вектора $e^{-\frac{2\pi j rk}{N}}$ на угол, образуемый последним с осью действительных чисел.

Известен специализированный алгоритм Волдера [2], с помощью которого операции поворота вектора выполняются очень быстро и точно. Алгоритм Волдера имеет два вычислительных режима: режим вращения и векторный режим. В режиме вращения задаются координатные составляющие вектора и угол θ , на который он должен быть повернут. В результате выполнения алгоритма вычисляются координатные составляющие повернутого вектора. Процесс вращения на заданный угол разбивается на ряд инкрементных поворотов, количество которых определяются заранее.

После одного поворота (рис. 1) координатные составляющие вектора вычисляются, согласно выражениям:

$$Y_{k+1} = Y_k \pm 2^{-(k-2)} X_k; \quad X_{k+1} = X_k \pm 2^{-(k-2)} Y_k. \quad (3)$$

Величина инкрементного поворота α_k определяется следующим образом:

$$X_k = \operatorname{arctg} 2^{-(k-2)}, \quad k = 2, 3, \dots, n. \quad (4)$$

Процесс инкрементных поворотов продолжается до тех пор, пока сумма углов α_k не станет равной по величине и обратной по знаку углу θ , т. е.

$$-\theta = \sum_{k=1}^n \alpha_k. \quad (5)$$

В векторном режиме по координатным составляющим вектора определяется его модуль и угол, который он образует с осью действительных чисел. Инкрементные повороты заканчиваются при $X_k \cong 0$. При этом Y_k совпадает с осью действительных чисел, т. е. совпадает с модулем вектора, а сумма инкрементных поворотов становится равной углу φ , т. е.

$$\varphi = \sum_{k=1}^n \alpha_k. \quad (6)$$

Следует отметить, что ряд (6) быстро сходится. Практически за двенадцать поворотов можно получить модуль и величину угла φ с точностью до 0,01 %. Очевидно, что все операции, необходимые для реализации обоих режимов, сводятся к операциям сдвига и суммирования.

Для реализации алгоритма БПФ воспользуемся режимом вращения алгоритма Волдера. При

этом $A_i(k)$ является вектором, который необходимо повернуть на угол $\theta = -\frac{2\pi r k}{N}$. Координатными составляющими вектора служат действительная $\text{Re}[A_i(k)]$ и мнимая $\text{Im}[A_i(k)]$ части, хранящиеся в оперативном запоминающем устройстве (ОЗУ). На рис. 2 показана структурная схема операционного устройства процессора БПФ. В нее входят три сумматора и три регистра, соединенные между собой таким образом, что над величинами, приходящими из ОЗУ, выполняются операции, описанные (3).

В сдвиговых регистрах P_1 и P_2 хранятся как начальные, так и промежуточные операнды, полученные в результате выполнения операций сдвига и суммирования. В регистре P_3 одновременно с поступлением чисел в регистры P_1 и P_2 записывается величина $\theta = -\frac{2\pi r k}{N}$. В сумматоре C_3 производится сложение содержимого регистра P_3 со значениями углов инкрементных поворотов, поступающих из постоянного ЗУ. Результат суммирования переписывается из сумматора в регистр. Знаковый разряд регистра управляет знаком операции сложения в C_1 , C_2 и C_3 при выполнении следующего инкрементного поворота [2].

После окончания вращения вектора в регистре P_3 записан ноль, так как выполнено условие (5), а в регистрах P_1 и P_2 — реальные и мнимые части произведения

$A_i(k) e^{-\frac{2\pi r k}{N}}$ соответственно. Далее они суммируются, согласно с выражениями (1), с величинами $\text{Re}[A_i(j)]$ и $\text{Im}[A_i(j)]$, поступающими из ОЗУ. Необходимо отметить, что, несмотря на явную экономию оборудования, быстродействие и точность описанного вычислительного устройства (ВУ) не уступают параметрам ВУ, рассмотренного в работе [1].

В процессорах БПФ может найти применение и векторный режим алгоритма Волдера. При вычислении амплитудного и фазового спектров обычно затрачивается большое количество машинного времени на выполнение операций деления, извлечения квадратного корня и определения функции арктангенса. В то же время очевидно, что величины, получаемые после выполнения векторного режима, являются составляющими этих спектров. При этом в качестве координатных составляющих вектора служат действительные и мнимые части вычисленных спектральных коэффициентов. Векторный режим реализуется с помощью того же оборудования, что и режим вращения.

После окончания инкрементных поворотов в регистре P_2 находится число, совпадающее с величиной, подсчитанной по формуле

$$R_n = \sqrt{\text{Re}(C_n)^2 + \text{Im}(C_n)^2},$$

где C_n — спектральный коэффициент. Число же в регистре P_3 равно

$$\varphi_n = \arctg \frac{\text{Im}[C_n]}{\text{Re}[C_n]}.$$

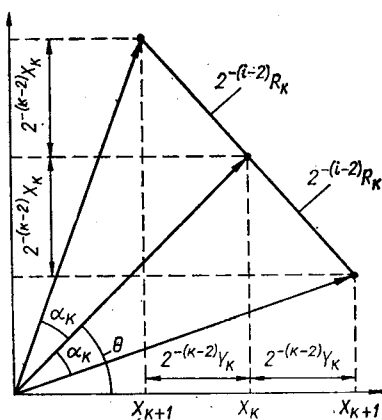


Рис. 1.

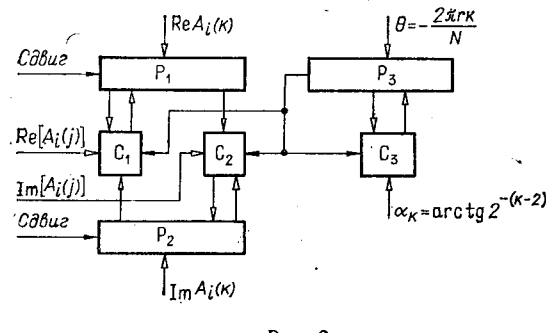


Рис. 2.

ЛИТЕРАТУРА

1. Клан, Шайвли, Гомец, Гилмартин. Специализированный процессор для быстрого решения задач гармонического анализа.— Электроника (перевод с англ.), 1968, т. 41, № 13.
2. J. E. Volder. The CORDIC Trigonometric Computing Technique.— IRE Trans. on Electronic Computers, 1969, p. 330.

Поступило в редакцию 4 мая 1972 г.

УДК 621.374.387

Б. И. СУВОРОВ, В. А. ТИТОВ

(Томск)

АМПЛИТУДНО-ВРЕМЕННОЙ ПРЕОБРАЗОВАТЕЛЬ

Известны преобразователи амплитуды импульсов в длительность интервала времени, в которых используют разряд конденсатора от амплитудного значения до напряжения сравнения [1, 2].

В сообщении анализируется амплитудно-временной преобразователь, выполненный на полупроводниковых элементах (рис. 1).

В исходном режиме транзисторы T_1 и T_2 находятся в состоянии насыщения, а туннельный диод D_2 типа ЗИ301А — в «высоковольтном» состоянии. Входной импульс отрицательной полярности заряжает через сопротивления перехода исток — затвор полевого транзистора T_1 и диода D_1 , включенных параллельно, конденсатор C до напряжения, равного примерно амплитуде импульса. По окончании входного импульса положительное напряжение на конденсаторе C воздействует на затвор транзистора T_1 , токи через транзисторы T_1 и T_2 прекращаются и туннельный диод D_2 оказывается в «низковольтном» состоянии. Конденсатор C разряжается через параллельно соединенные резистор R_1 и обратное сопротивление диода D_1 , а также током затвора полевого транзистора T_1 . Когда напряжение на затворе транзистора T_1 достигает напряжения отсечки, то через транзистор T_1 начинает протекать ток, что приводит к открыванию транзистора T_2 , и при

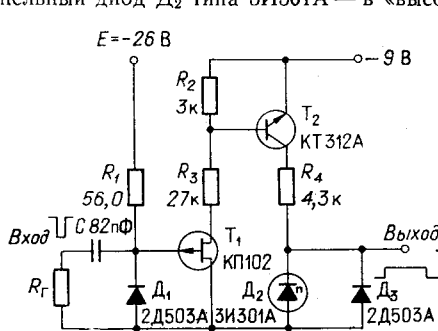


Рис. 1.

токе коллектора транзистора T_2 , равном пиковому току туннельного диода D_2 , туннельный диод переходит из «низковольтного» состояния в «высоковольтное». Таким образом, на туннельном диоде получается прямоугольный импульс, длительность которого пропорциональна амплитуде входного импульса.

На рис. 2 приведены зависимости длительности выходного импульса T и коэффициента преобразования $K_{\text{пр}} = \partial T / \partial U_m$ от амплитуды входного импульса U_m для амплитудно-временного преобразователя, выполненного по схеме на рис. 1.

Параллельно входу транзистора T_1 поставлен полупроводниковый диод D_1 типа 2Д503А, чтобы уменьшить постоянную времени заряда конденсатора C . Ошибка преобразования, возникающая в связи с недозарядом зарядной емкости C , рассчитана в работе [3], величина ее не превышает 1% при длительности входного импульса 0,5 мкс.

Назначение диода D_3 — предохранить туннельный диод от перегрузок на диффузионной ветви вольт-амперной характеристики диода.

В температурном диапазоне от +15 до +50° С величина $K_{\text{пр}}$ изменялась на 0,12%/° С. Температурная нестабильность коэффициента преобразования обусловлена в основном нестабильностью обратного тока диода D_1 .

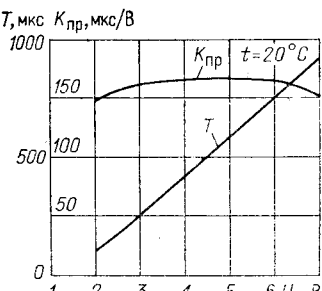


Рис. 2.